

多层样品的 PTR 理论及其埋层厚度的非接触测量

李佩赞 吴志明 郑小明 管国兴

(苏州大学物理系, 江苏, 苏州, 215006)

摘要——从理论上推导了一般情况下多层样品 PTR 信号的解析式, 分析了光学不透明三层样品, 用推导的振幅和位相表达式拟合三层样品的实验数据, 并计算出中间层的厚度。

关键词——光热辐射测量, 多层样品, 振幅, 位相。

1. 引 言

自 1979 年 Nordal 和 Kanstad^[1] 报道以来, 光热辐射测量 (PTR) 技术在理论上和应用上得到迅速发展^[2~5]。随着各种激光光源和致冷红外探测器的应用, PTR 在表面科学, 层状复合材料检测和光热光谱等方面日益受到重视。以前的报道大多限于单层样品, 本文阐述一般情况下多层样品的 PTR 信号理论, 并将其结果与三层样品的光热辐射信号结果比较, 确定了埋层厚度, 对 PTR 技术用于多层样品定量分析作了新的尝试。

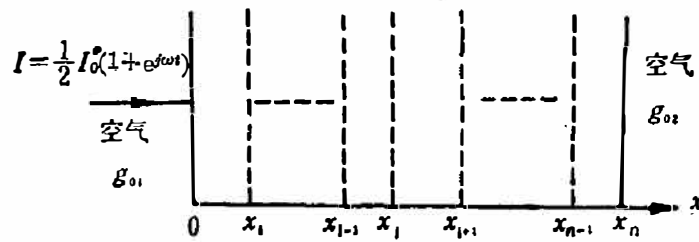
2. 理论分析

PTR 理论起初沿用 Rosencwaig^[6] 的光声理论, 后来, R. Santos^[7]、Roderick, D. Tom^[8]、管国兴^[9] 等对单层样品 PTR 信号作了较为全面的分析和讨论。

设有一束调制光 $I = \frac{1}{2} I_0 (1 + e^{j\omega t})$ 垂直照射到 n 层样品上 (如图 1), I_0 为光强 (W/cm^2), ω 为调制角频率 (rad/s)。样品中第 i 层媒质的一维热传导方程为

$$\frac{\partial^2 \phi_i(x, t)}{\partial x^2} = \frac{1}{\alpha_i} \frac{\partial \phi_i(x, t)}{\partial t} - \frac{Q_i(x, t)}{k_i}, \quad x_{i-1} \leq x \leq x_i \quad (1)$$

其中 $Q_i(x, t)$ 为第 i 层媒质由于吸收调制光而产生的热源, 有 $Q_i(x, t) = \beta_i I_0 \exp \left[- \sum_{l=1}^{i-1} \beta_l d_l - \beta_i (x - x_{i-1}) \right] \frac{1}{2} (1 + e^{j\omega t})$, 这里 $d_l = x_l - x_{l-1}$ 为 l 层的厚度。将 $Q_i(x, t)$ 代入式 (1) 得

图 1 热学性质不同的 n 层样品示意图Fig. 1 Schematic diagram of a n -layer sample with thermal properties different from each other.

$$\frac{\partial^2 \phi_{s_i}(x, t)}{\partial x^2} = \frac{1}{\alpha_i} \frac{\partial \phi_{s_i}(x, t)}{\partial t} - \frac{\beta_i I_0}{2k_i} (1 + e^{j\omega t}) \cdot \exp\left[-\sum_{l=1}^{i-1} \beta_l d_l - \beta_i (x - x_{i-1})\right]. \quad (2)$$

方程(2)的解的实部 $\text{Re}[\phi_{s_i}(x, t)]$ 即为所求的温度。其中 $\phi_{s_i}(x, t)$ 为样品第 i 层媒质温度, k_i 为热导率, $\alpha_i = \frac{k_i}{\rho_i C_i}$ 为热扩散率(即导温系数), ρ_i 为密度, C_i 为比热, β_i 为光吸收系数。

忽略空气对入射辐射的吸收, 对于与样品接触的空气则有

$$\begin{cases} \frac{\partial^2 \phi_{01}}{\partial x^2} = \frac{1}{\alpha_0} \frac{\partial \phi_{01}}{\partial t}, & x \leq 0 \\ \frac{\partial^2 \phi_{02}}{\partial x^2} = \frac{1}{\alpha_0} \frac{\partial \phi_{02}}{\partial t}, & x \geq x_n \end{cases} \quad (3)$$

式(3)中 $\phi_{01}(x, t)$ 、 $\phi_{02}(x, t)$ 分别为样品前、后空气的温度, $\alpha_0 = \frac{k_0}{\rho_0 C_0}$ 为空气的热扩散率, ρ_0 、 k_0 、 C_0 分别为空气的密度、热导率和比热。在样品层与层之间接触良好时, 需满足边界条件

$$\phi_{s_i}(x, t) \Big|_{x=x_i} = \phi_{s_{i+1}}(x, t) \Big|_{x=x_i}, \quad (4a)$$

$$k_i \frac{\partial \phi_{s_i}(x, t)}{\partial x} \Big|_{x=x_i} = k_{i+1} \frac{\partial \phi_{s_{i+1}}(x, t)}{\partial x} \Big|_{x=x_i}. \quad (4b)$$

式(4a)表示温度连续, 式(4b)表示热量连续。

对于样品与空气接触的界面上的边界条件, 需要考虑辐射、对流和热传导。辐射项为 $4\epsilon\sigma T^3 \delta T$, $T = T_0 + T_{DC}$, T_0 为环境温度, T_{DC} 是温度涨落的直流量, ϵ 为样品的发射率, σ 为斯忒藩-玻耳兹曼常数, 对流项为 $h\delta T$ (h 为对流系数), 热传导可忽略。令 $H = h + 4\epsilon\sigma T^3$, 可得样品表面边界条件为

$$\phi_{s_1}(x, t) \Big|_{x=0} = \phi_{01}(x, t) \Big|_{x=0}, \quad (5a)$$

$$\phi_{s_n}(x, t) \Big|_{x=x_n} = \phi_{02}(x, t) \Big|_{x=x_n}, \quad (5b)$$

$$k_1 \frac{\partial \phi_{s_1}(x, t)}{\partial x} \Big|_{x=0} = \frac{k_0 \partial \phi_{01}(x, t)}{\partial x} \Big|_{x=0} + H \phi_{s_1}(x, t) \Big|_{x=0}, \quad (5c)$$

$$k_n \frac{\partial \phi_{s_n}(x, t)}{\partial x} \Big|_{x=x_n} = \frac{k_0 \partial \phi_{02}(x, t)}{\partial x} \Big|_{x=x_n} - H \phi_{s_n}(x, t) \Big|_{x=x_n}. \quad (5d)$$

PTR 信号 $S(t) = K 4\epsilon\sigma T^3 \delta T$, K 为比例常数。由于 PTR 信号只与周期性变化量 δT 成正比, $\delta T = \text{Re}[\phi_s(x, t)]$, 因而只需要知道端面温度 $\phi_{s_1}(0, t)$ 和 $\phi_{s_n}(x_n, t)$, 就可确定反射 PTR 信号和透射 PTR 信号。

解方程(2), 并结合边界条件式(5), 得到多层样品 PTR 信号的表达式

$$\phi_{s1}(0, t) = (A_1 + B_1 + E_1) e^{j\omega t}, \tag{6a}$$

$$\phi_{s_n}(x_n, t) = (A_n e^{\sigma_n x_n} + B_n e^{-\sigma_n x_n} + E_n e^{-\beta_n x_n}) e^{j\omega t}. \tag{6b}$$

式(6)中 $\sigma_i = (1+j) \left(\frac{\omega}{2\alpha_i} \right)^{1/2}$, A_i, B_i, E_i 为待定系数, 可由式(4)和(5)利用递推关系确定.

作为式(6)的应用讨论三层样品的情况. 为简化讨论, 设三层样品对入射光是不透明的 (即 $\beta_i \rightarrow \infty$), 入射辐射仅被样品表面吸收. 样品内不存在热源, 吸收的入射辐射靠热传导传递给另一端面. 为便于锁相分析器分析, 并且实验中只作透射测量, 将式(6b)变换为透射 PTR 信号 $Ae^{-j\varphi}$ 的振幅 A 和位相 φ 的表达式

$$A = W / \sqrt{p^2 + q^2}, \tag{7a}$$

$$\varphi = \text{tg}^{-1}(q/p) + \frac{\pi}{4}. \tag{7b}$$

其中

$$W = \frac{\sqrt{2} I_0}{k_1 a_1} \left(\frac{1}{4k_2 k_3 a_2 a_3} \right)^2 [(g_{21}^+)^2 - (g_{21}^-)^2] [(g_{32}^+)^2 - (g_{32}^-)^2],$$

$$p = \frac{1}{4k_2 k_3 a_2 a_3} \sum_{l=1}^4 (m_l - n_l) \cos z_l, \quad q = \frac{1}{4k_2 k_3 a_2 a_3} \sum_{l=1}^4 (m_l + n_l) \sin z_l.$$

$$z_1 = a_1 d_1 + a_2 d_2 + a_3 d_3, \quad m_1 = g_{32}^+ g_{21}^+ e^{z_1}, \quad n_1 = g_{32}^- g_{21}^- e^{-z_1},$$

$$z_2 = -a_1 d_1 + a_2 d_2 + a_3 d_3, \quad m_2 = g_{32}^+ g_{21}^- e^{z_2}, \quad n_2 = g_{32}^- g_{21}^+ e^{-z_2},$$

$$z_3 = -a_1 d_1 - a_2 d_2 + a_3 d_3, \quad m_3 = g_{32}^- g_{21}^+ e^{z_3}, \quad n_3 = g_{32}^+ g_{21}^- e^{-z_3},$$

$$z_4 = a_1 d_1 - a_2 d_2 + a_3 d_3, \quad m_4 = g_{32}^- g_{21}^- e^{z_4}, \quad n_4 = g_{32}^+ g_{21}^+ e^{-z_4}.$$

这里 $W, p, q, m_l, n_l, z_l (l=1, 2, 3, 4)$ 均为实数, 并且

$$g_{i+1,i}^\pm = k_{i+1} a_{i+1} \pm k_i a_i, \quad a_i = \sqrt{\frac{\omega}{2\alpha_i}}.$$

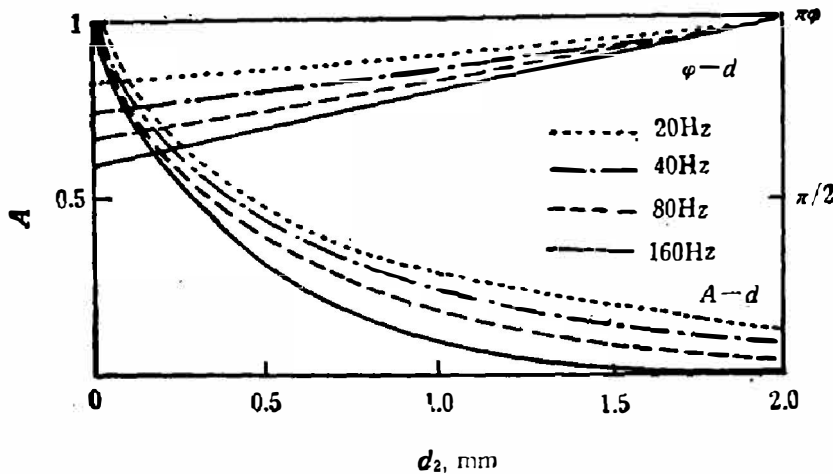


图2 不同频率下归一化振幅和位相随埋层厚度的变化

Fig. 2 Normalized amplitude and phase of PTR signal as a function of the buried layer thickness for different frequencies.

从上面看出, PTR 信号振幅和位相均与 k_i, ρ_i, α_i 及各层厚度 d_i 有关. 由于讨论的是光学不透明样品, 所以光学吸收系数的影响可忽略. 对于第一层的面吸收可归入比例常数 K , 仅对信号振幅产生影响, 这与我们的实验一致. 图2表示不同频率下 PTR 振幅式(7a)

和位相式(7b)随中间埋层厚度的变化曲线。理论表明:对于一定调制频率,埋层厚度增加,振幅减小,位相增大(延迟);对于一定厚度,振幅和位相都随调制频率增加而减小。对埋层厚度未知的三层样品,通过测量不同频率下 PTR 信号的振幅或位相,与理论曲线比较拟合,就能确定埋层厚度和其它热物理量。这种方法不会对样品造成损坏,这是常规方法无法实现的。

3. 实验及结果

测量装置如图 3 所示,波长为 $10.6 \mu\text{m}$ 的 CO_2 激光经 ZnS 衰减后,通过调制器 C 照射到样品 S 上,引起样品内部周期性热效应,并由此引起热辐射变化,在另一面用致冷 HgCdTe 红外探测器 D 探测变化的辐射信号,再经低噪声前置放大器 P 输入锁相分析器以检测 PTR 信号的振幅和位相。

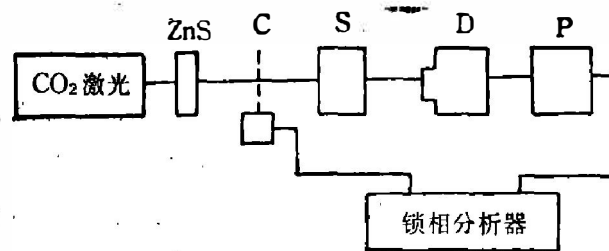


图 3 测量装置方框图

Fig. 3 Block diagram of the measurement set-up.

我们在铝合金片上镀铜(CuAlCu)和在铜片上镀镍(NiCuNi),以此作为样品,进行了埋层厚度的测量。图 4 和图 5 分别表示两种样品的振幅随频率变化的实验值。利用理论公式(7a)对 CuAlCu 样品用曲线拟合法,求得方差最小时振幅随频率的变化曲线,如图中曲线所示,对应的中间层厚度 $d_2=0.42 \text{ mm}$,与实际值 0.4 mm 相近。用同样方法求得

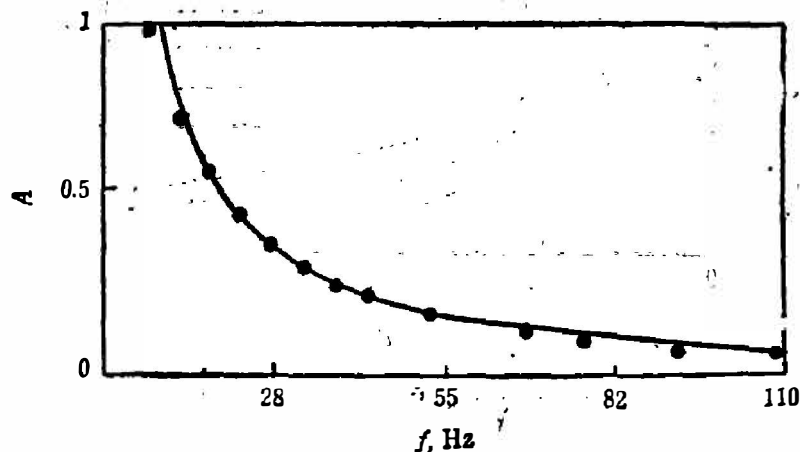


图 4 三层样品(CuAlCu)振幅随频率变化的实验值和计算机拟合值
($d_1=0.2 \text{ mm}$, $d_2=0.4 \text{ mm}$, $d_3=0.3 \text{ mm}$, $k_1=386 \text{ W/m}^\circ\text{C}$, $k_2=137 \text{ W/m}^\circ\text{C}$, $k_3=386 \text{ W/m}^\circ\text{C}$,
 $\alpha_1=\alpha_3=11.234 \times 10^{-5} \text{ m}^2/\text{s}$, $\alpha_2=5.933 \times 10^{-5} \text{ m}^2/\text{s}$.)

Fig. 4 Experimental and computer fitted values of amplitude as a function of frequency for a three-layer (CuAlCu) sample.

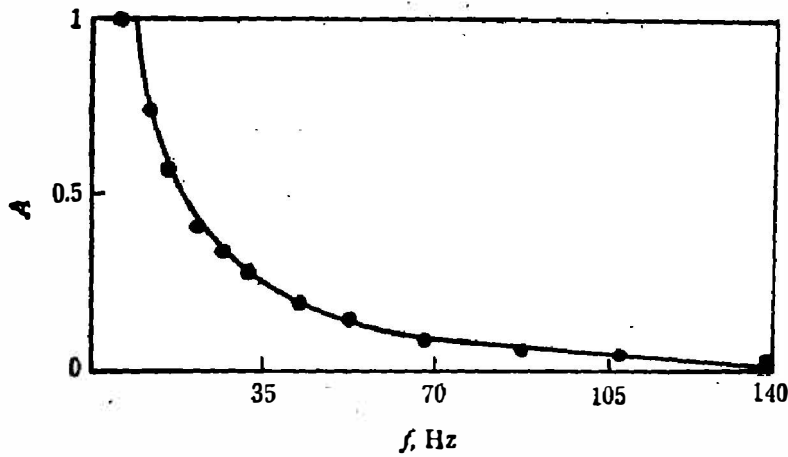


图5 三层样品(NiCuNi)的振幅随频率变化的实验值和计算机拟合值
($d_1=0.12$ mm, $d_2=0.096$ mm, $d_3=0.12$ mm, $k_1=k_3=17$ W/m $^{\circ}$ C, $k_2=24.9$ W/m $^{\circ}$ C,
 $\alpha_1=\alpha_3=0.444 \times 10^{-5}$ m 2 /s, $\alpha_2=0.733 \times 10^{-5}$ m 2 /s.)

Fig. 5 Experimental and computer fitted values of amplitude as a function of frequency for a three-layer (NiCuNi) sample.

NiCuNi 样品埋层厚度为 0.098 mm, 与实际值 0.096 mm 相近. 经分析, 认为测量值的偏差和层与层之间的接触是否良好关系甚大, 在理论推导中均假定各层之间接触良好, 各层内热学性质完全相同.

此外, 在样品与探测器之间存在空气层, 空气的吸收对振幅的影响可以忽略, 但空气导热性差, 它对信号位相的延迟比起样品对信号位相的延迟不能忽略, 而且这种延迟是随着频率和样品厚度的变化而变化的, 因此我们没有采用位相来确定埋层厚度.

4. 结 论

我们从导出的多层样品的 PTR 信号公式得到光学不透明三层样品 PTR 信号的振幅和位相表达式, 并应用于样品埋层厚度的非接触测量. 理论和测量结果符合良好, 说明式(6)和式(7)是正确的. 此外, 若埋层厚度已知, 可用于埋层热物理参数的无损检测. 但 PTR 技术用于定量分析尚有许多问题等待解决, 如测量信噪比的提高和多维多层模型的发展等.

参 考 文 献

- [1] Nordal P. E. and Kanstad S. O., *Physica Scripta*, **20** (1979), 659.
- [2] 李佩赞, 红外技术, (1989), 3:1.
- [3] 钱霖、李佩赞, 苏州大学学报(自然科学版), (1989), 1:108.
- [4] Kanstad S. O. and Nordal P. E., *Power Technol.*, **22** (1978), 133.
- [5] Nordal P. E. and Kanstad S. O., *Infrared Phys.*, **25** (1985), 295.
- [6] Rosencwaig A. and Gersho A., *J. Appl. Phys.*, **47** (1976), 64.
- [7] Santos R. and Mirarida L. C. M., *J. Appl. Phys.*, **52** (1981), 4194.
- [8] Tom R. D., O'Hara E. P., and Benin D., *J. Appl. Phys.*, **53** (1982), 5392.
- [9] 管国兴、郑小明、李佩赞, 红外研究, **7**(1988), 3:201.

THEORY OF PHOTOTHERMAL RADIOMETRY FOR MULTILAYER SAMPLES AND NONCONTACT MEASUREMENT OF BURIED LAYER THICKNESS

LI PEIZAN, WU ZHIMING, ZHENG XIAOMING, GUAN GUOXING
(*Department of Physics, Suzhou University, 215006, Suzhou, Jiangsu, China*)

ABSTRACT

The general analytical expressions of PTR signal for multilayer samples are derived. The optically opaque three-layer sample is analyzed in details. Using the derived amplitude and phase expressions, the experimental data of the three-layer sample are fitted. The thickness of the buried layer in the sample is calculated.